

4) Le groupe de renormalisation

a) Etat des lieux

Approches décrites jusqu'ici donnent compréhension phénoménologique des phénomènes critiques, mais ne donnent pas d'explication pour les suivants :

① existence de classes d'universalité, caractérisées par un jeu donné d'exposants critiques.

② curiosités concernant les exposants critiques

Universality class	Symmetry of order parameter	α	β	γ	δ	ν	η	Physical examples
2-d Ising	2-component scalar	0 (log)	1/8	7/4	15	1	1/4	some adsorbed mono e.g. H on Fe
3-d Ising	2-component scalar	0.10	0.33	1.24	4.8	0.63	0.04	phase separation, flu order-disorder e.g. β
3-d X-Y	2-dimensional vector	0.01	0.34	1.30	4.8	0.66	0.04	superfluids, supercon
3-d Heisenberg mean-field	3-dimensional vector	-0.12	0.36	1.39	4.8	0.71	0.04	isotropic magnets
2-d Potts, $q=3$ $q=4$	q -component scalar	0 (dis.)	1/2	1	3	1/2	0	some adsorbed mono e.g. Kr on graphite

$$\alpha + 2\beta + \gamma = 2$$

$$\alpha + \beta(1+\delta) = 2$$

$$\delta\nu = 2 - \alpha$$

$$(2-\gamma)\nu = \gamma$$

Sur base d'arguments thermodynamiques, on peut remplacer tous les $=$ par des \geq . Par exemple,

Babson

P331

$$\chi_T(c_B - c_n) = T \left(\frac{\partial \Pi}{\partial T} \Big|_B \right)^2 \quad \text{et } c_n > 0$$

$$\Rightarrow \underbrace{\chi_T c_B}_{|t|^{-\alpha}} \geq T \underbrace{\left(\frac{\partial \Pi}{\partial T} \Big|_B \right)^2}_{|t|^{2(B-1)}} \Rightarrow -\alpha - \gamma \leq 2B - 2 \quad (< 0)$$

Toutefois, il semble bien que égalités tiennent... explication ?

- ① les exp. critiques prennent en valeur à droite et à gauche de T_c
- ② En dimension 2, les exp. critiques sont souvent fractions rationnelles (plus exacte).

Telle était situation en 1971 quand K. Wilson a publié son 1^{er} article décrivant groupe de renormalisation. But : tirer profit de $\beta = \infty$ au pt critique.

Idée : réduire systématiquement le nbre de d-dim. en intégrant sur les fluctuations de courte longueur d'onde. Partant par ex d'un système de spins sur réseau maillé a, $\lambda_{\min} \sim a$. Intégrons sur les longueurs d'onde $a \leq \lambda \leq b \cdot a$ (b facteur de dilatation) \rightarrow fait correspondre au système physique initial un autre système physique, qui possède m^e comportement à grande distance ($a > b \cdot a$). \hookrightarrow Hamiltonien \neq

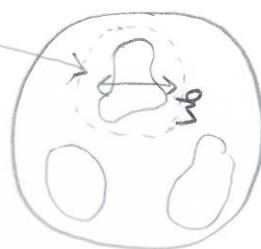
Une telle transformation - que l'on peut élire - peut être visualisée en imaginant qu'on observe le système physique avec deux microscopes : l'un de résolution na, l'autre, de résolution moins bonne b·a. En passant du 1^{er} au 2nd microscope, on "intègre" sur tous les détails ayant dimension entre a et ba. Si le champ du 2nd microscope, les îlots d'aimantation positive (par ex) seront vers b fois plus petits que du champ du premier (supposé β finie).

NB : on peut définir β par fonction corrélation $\langle \vec{r}_i \cdot \vec{r}_j \rangle$, mais aussi par

$$\frac{\langle \sum_{i,j} (\vec{r}_i \cdot \vec{r}_j) S_i S_j \rangle}{\langle \sum S_i S_j \rangle}$$



microscope 1



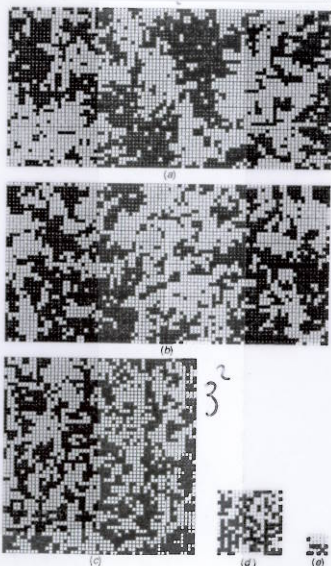
microscope 2

pas avoir vision
trop naïve
)

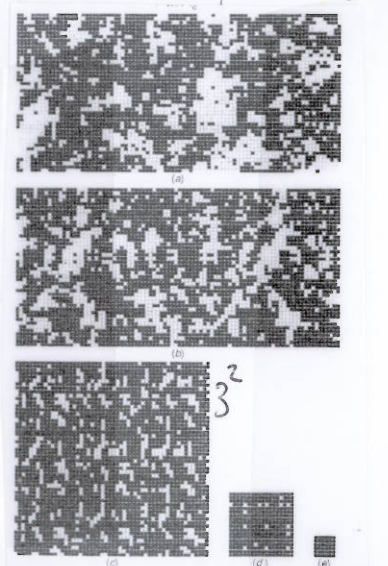
Notez toutefois l'existence de régions connexes, sur toutes les distances $r \leq \xi$: une fluctuation n'est pas une région où tous les spins sont alignés, mais inclut fluctuations taille plus petite etc... jusqu'à échelle ξ (pas réseau) \rightarrow (ne pas confondre une fluctuation de taille ξ , avec domaine en gral de taille $\gg \xi$.)

|| Au point critique, les fluctuations ont toutes tailles possibles \rightarrow images analogues des 2 microscopes. (après pas d'itérations, histoire d'oublier détails microscopiques)

Illustration sur Ising 2D où en fait de microscope, on remplace des blocs de spins 3×3 , par un spin ayant la même valeur que majorité des 9 spins décomposés.



$$T = T_c \quad b=3^3 \quad 3^2$$



$$T = 0.99 T_c$$

\rightarrow fluctuations les plus ordonnées sont graduellement supprimées ... système évolue vers $T_{eff} = 0$. En s'éloigne du point critique (cf suite)

↳ pas de changement par itération de procédure ... fluctuations à toutes échelles.

Regroupement de spins en blocs : une stratégie possible pour intégrer les fluctuations de certain longueur d'onde. Ce n'est pas la seule.

Ainsi, groupe de renormalisation a peu effet de modifier l'échelle de longueur d'un pb en supprimant d.d.l (détail micro). Il n'y a qu'en point critique que le système est invariant par changement d'échelle (rappel: $P(r) \sim \frac{1}{r^{\alpha}}$, algébrique, pas d'échelle de longueur caractéristique de cette loi, par opposition à $\frac{1}{r^2}$, exp(- r/s) pour $T \neq T_c$) \Rightarrow comportement critique } pas tant à fait correspond à point fixe d'une transformation du groupe de renormalisation } correct. On tend vers pt fixe asymptotiquement en itérant TGR, mais un pt critique ne constitue pas lui-même un pt fixe. Pourquoi parle t-on de groupe? Itérer 2 fois transfo avec dilatation b et \Rightarrow à 1 transfo avec dilatation b^2 \rightarrow associativité perdut. Mais: les transformations considérées n'ont pas d'inverse; terme de "groupe" est abusif; on devrait parler de demi-groupe (et demi-groupe; autre pb: demi-groupe traduit par "semi-group" en anglais)

4)b) Définition d'une transformation du groupe de renormalisation

Modèle initial, décrit par hamiltonien $\tilde{H} = H/kT$; transformé en un nouveau système décrit par hamiltonien réduit \tilde{H}' ; on note symboliquement $\tilde{H}' = R \tilde{H}$ où l'opération du groupe de renormalisation R fait décroître le nombre de degrés de liberté de N à N' . Cette réduction peut s'opérer (ex des systèmes de spins)

* dans espace réel en regroupant, ou supprimant spins

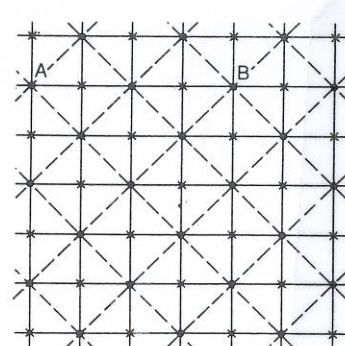
* ds " Fourier en intégrant sur les grands vecteurs d'onde
Le facteur d'échelle de transformation est donné par $b^d = \frac{N}{N'}$.

Ex de renormalisation du réseau carié

avec $b = \sqrt{2}$. Réseau initial #, final /, on supprime sites marqués d'une * - réseau réduit carié avec $N' = N/2$

$$e^{-\tilde{H}'} = \sum_{\text{spins } *} e^{-\tilde{H}}$$

trace partielle



Condition essentielle que doit satisfaire toute transformation R:

FIP 106
L3

$$Z_{N'}(\tilde{H}') = Z_N(\tilde{H})$$

L'énergie libre étant extensive, cela implique, pour l'énergie libre par spin $\tilde{f} = f/kT$

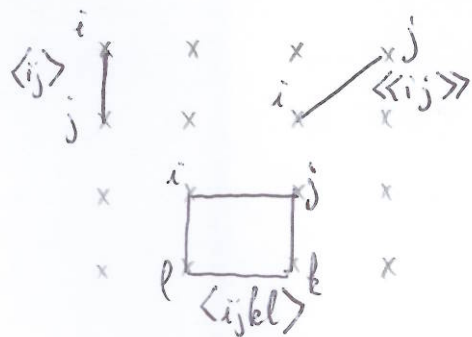
$$\tilde{f}(\tilde{H}') = b^d \tilde{f}(H)$$

Pour pouvoir comparer les systèmes avant et après transformation, utile de mesurer longueurs en terme du pas du réseau ie $\vec{r} \rightarrow \vec{r}' = \vec{r}/b$

On a aussi $\xi' = \xi/b$ (longueur de corrélation). A un point fixe de R ($\tilde{H}^* = R\tilde{H}^*$), on a $\xi' = \xi$, qui n'est compatible avec $\xi' = \xi/b$ que pour $\xi = \infty$ (solution 0 exclue). On retrouve la correspondance pt fixe de R \Leftrightarrow pt critique avec longueur corrélation divergente

Pour poursuivre discussion, introduire notion d'espace des paramètres associé au hamiltonien. Un syst-phys à t° donné est repéré par vecteur $\vec{\mu}$ dans cet espace.

Par ex, pr Ising $\tilde{H} = K_1 \sum_{\langle ij \rangle} S_i S_j + K_2 \sum_{\langle\langle ij \rangle\rangle} S_i S_j + K_3 \sum_{\langle ijk \rangle} S_i S_j S_k S_l$



\hookrightarrow p.p.v \hookrightarrow sd p.p.v \hookrightarrow plaquettes

Ici, $\vec{\mu}$ correspond à donnée des constantes de couplages

$$\vec{\mu} = (K_1, K_2, \dots, K_n \dots)$$

\hookrightarrow espace de dimension infinie

Pourtant de $K_1 \neq 0, K_2 = K_3 = \dots = 0$, les transformations successives R, généralement, engendrent couplages $K_2 \neq 0, K_3 \neq 0$ etc. Le but est de trouver le point fixe

$$\vec{\mu}^* = R \vec{\mu} \quad \downarrow \text{sauf en 1D.}$$

4) c) Points fixes et universalité

Comportement de la transformation (et donc de \tilde{f}_t^k) au voisinage d'un point fixe : $\tilde{\mu} = \tilde{\mu}^* + \delta\tilde{\mu}$ et par develop Taylor

$$\delta\tilde{\mu}' = \tilde{A}(\tilde{\mu}^*) \delta\tilde{\mu} \quad (A_{ij} = \left. \frac{\partial \tilde{\mu}_i}{\partial \tilde{\mu}_j} \right|_{\tilde{\mu}^*})$$

On note (λ_i, \vec{v}_i) les vecteurs propres / val. propres de la matrice constante \tilde{A} : $\tilde{A} \vec{v}_i = \lambda_i \vec{v}_i$. Les vecteurs propres dépendent du facteur d'échelle b . Appliquer successivement deux transformations de facteurs b_1 et b_2 revient à appliquer une transfo $b_1 b_2 \Rightarrow$

$$\lambda_i(b_1)\lambda_i(b_2) = \lambda_i(b_1 b_2) \Rightarrow \lambda_i(b) = b^{y_i}$$

Les y_i sont reliés aux exposants critiques ($\alpha, \beta, \gamma, \dots$), et permettent d'en comprendre l'universalité (une fois qu'on a admis que les y_i déterminent les exp.-critiques, cf plus loin)

La matrice \tilde{A} n'est pas symétrique, il n'y a aucune raison que ses vecteurs propres soient réels, et que ses vecteurs propres forment un ensemble complet. On suppose malgré tout que c'est le cas, pour illustrer méthode. On écrit alors

$$\tilde{\mu} = \tilde{\mu}^* + \sum_i g_i \vec{v}_i ; \quad g_i \equiv \text{champ d'échelle ("scaling field")}$$

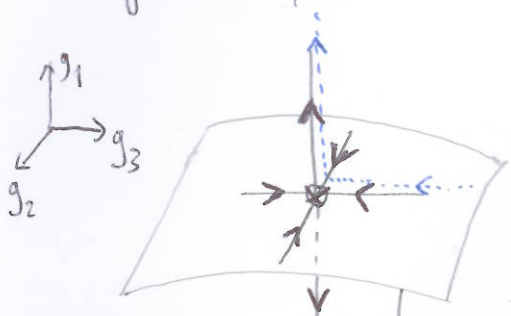
$$\hookrightarrow \tilde{\mu}' = \tilde{\mu}^* + \sum_i b^{y_i} g_i \vec{v}_i , \text{ soit aussi } g'_i = b^{y_i} g_i$$

Il y a donc trois cas à distinguer :

- o $y_i > 0$: le champ d'échelle croît par itération de la transfo grise renormalisant et qui élargit syst. du pt. fixe ; on parle de **champ essentiel** ("relevant scaling field")
- o $y_i < 0$: **champ inessentiel** ("irrelevant")
- o $y_i = 0$: champ reste constant à l'approximation linéaire. Pas déterminé de son comportement, aller au delà de cette approx.
 ↳ **champ marginal**. On exclut ce cas de figure ici

Ces notions (essentiel etc) sont définies par rapport à un point fixe particulier.

→ Stabilité du point fixe dépend du nbre champs essentiels et non essentiels. On appelle surface critique l'ensemble des points de l'espace des paramètres qui tendent vers pt fixe par itération de R (on est amené à supposer b continue, p que les trajectoires de l'espace des param. soient bien continues, et non ensemble de pts discrets). Par ex, si il y a un champ essentiel (g_1) et deux champs non essentiels (g_2 et g_3): la surface critique est localement (hyper)plan au voisinage pt fixe.



Trajectoire ----- commence proche de surface critique, mais en dehors; le système se rapproche du pt fixe, avant de s'en éloigner au fur et à mesure

surface critique, définie qu'on l'observe sur grandes échelles. localement par $g_1 = 0$, c'est exactement ce qu'on vut sur Imag s'écarte de forme plane qd on s'écarte pt critique. 2D avec $T=0.99 T_c$, page 104.

Notez que lorsque la longueur de corrélation ne peut que dénaturer par une TGR (transfo grpe renormalisation), tous les points de la surface critique ont une longueur de corrélation infinie (au point fixe, $\xi = +\infty$)

→ Considérons une surface critique avec un unique point fixe. Cette surface critique est le lieu des points critiques pour toute une famille de systèmes avec des hamiltoniens #6. Un système proche de son pt critique se trouve près de la surface critique. Après changement d'échelle, champs non essentiels \propto , champs essentiels \nearrow , mais si ces derniers sont initialement assez petits, le système passe près du pt fixe, avant de s'éloigner de la surface critique.

↳ son comportement critique est déterminé par transformation linéarisée $\hat{A}(\vec{\mu}^*)$ et ne dépend pas de la valeur initiale des champs non essentiels

↳ tous les systèmes qui passent près du point fixe, indépendamment de leur point de départ dans l'espace paramètres, présentent m̄m comportement critique (gouverné par les γ_i)

Rq: nous n'avons défini la notion de champ essentiel / inessentiel

FIP 109

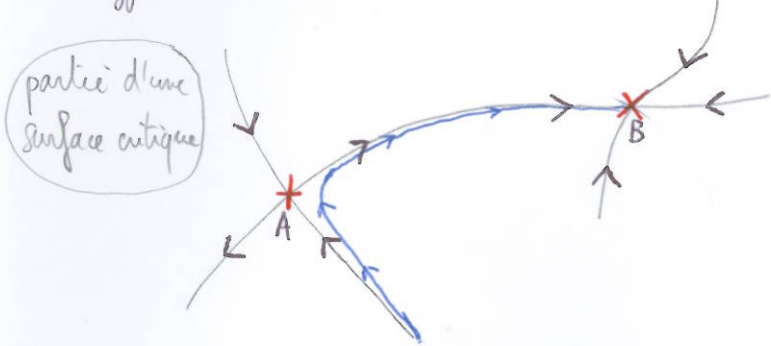
L3

qu'au voisinage d'un pt critique, du domaine linéaire de R.

Nécessité d'étendre cette notion au régime non-linéaire, pour donner un sens à ce qui précède → techniquement plus complexe

→ Il peut exister plus d'un pt fixe sur une surface critique.

(effet dit de "crossover").



Ici, A a un chp essentiel, un inessentiel alors que B en a deux inessentiels (sur surface critique, ne pas oublier l'existence de champ(s) essentiel(s) de direction(s) ⊥ à surface critique).

Trajétaires passant d'abord au voisinage de A, avant d'être entraînées vers B par un champ essentiel (et de s'en éloigner sous action d'un autre champ essentiel non représenté) + à surface critique). En s'approchant de T_c , on va d'abord cptnt critique de type A, avant de voir un cpt de type B → "crossover".

Illustration: système magnétique avec faible anisotropie de spin

A = pt fixe Heisenberg

On ne voit pas anisotropie (et donc cptnt

B = pt fixe Ising

Ising) que pour T très proche de T_c .

4-d) Changements d'échelle et exposants critiques

→ Exposants critiques:

Avec $\tilde{\mu}' = R \tilde{\mu}$, on a $\tilde{f}(R \tilde{H}) = b^d \tilde{f}(\tilde{H})$, qui devient, au voisinage d'un pt fixe: $\tilde{f}(g_1, g_2, \dots) = b^{-d} \tilde{f}(b^{y_1} g_1, b^{y_2} g_2, \dots)$

\tilde{f} est une fonction homogène généralisée.

Pour relier les y_i aux exposants critiques, faut identifier les champs d'échelle.

De la plupart des systèmes magnétiques, il y a 2 variables à ajuster pr trouver pt critique:

température et champ magnétique. On note $t = \frac{T-T_c}{T_c}$, $h = \beta/kT$.

On suppose que ce sont les 2 seules variables essentielles :

$$\tilde{f}(t, h, g_3, \dots) \propto b^{-d} \tilde{f}\left(b^{y_1} t, b^{y_2} h, b^{y_3} g_3, \dots\right) \text{ pour } \begin{pmatrix} t \\ h \\ g_3 \end{pmatrix} \rightarrow 0$$

lien avec α ? On a $c \propto \frac{\partial^2 \tilde{f}}{\partial t^2} \Big|_{h=0} \propto |t|^{-\alpha}$

$$\frac{\partial^2 \tilde{f}}{\partial t^2} \Big|_{h=0} \propto b^{-d+2y_1} \left(\frac{\partial^2 \tilde{f}}{\partial t^2} \Big|_{h=0} \Big|_{t=0} \right)$$

variables non pertinentes mis à 0

Pour extraire la dépendance en t du membre de droite, on peut choisir b tel que $b^{y_1}|t|=1$ $\Rightarrow \tilde{f}_{tt} \propto |t|^{(d-2y_1)/y_1} \tilde{f}_H(\pm 1, 0, \dots)$ $\Rightarrow \alpha = 2 - d/y_1$

De même, on obtient $\gamma = (2y_2 - d)/y_1$, $\delta = y_2/(d-y_2)$. Pour l'aimantation :

$$m \propto \frac{\partial \tilde{f}}{\partial h} \propto b^{-d+y_2} m\left(b^{y_1} t, b^{y_2} h, \dots\right)$$

$$\Rightarrow m(t, h) \propto |t|^{(d-y_2)/y_1} m(\pm 1, h|t|^{-y_2/y_1})$$

On en tire 2 informations intéressantes : d'une part, $B = (d-y_2)/y_1$
et d'autre part, on définissant

$$\begin{cases} \tilde{m} \equiv \frac{m(t, h)}{|t|^B} \\ \tilde{h} = h|t|^{-B\delta} \end{cases}$$

Il vient : $\tilde{m} \propto m(\pm 1, \tilde{h})$

et donc... tracer \tilde{m} en fonction de \tilde{h} (m, t, h) à 2 variables

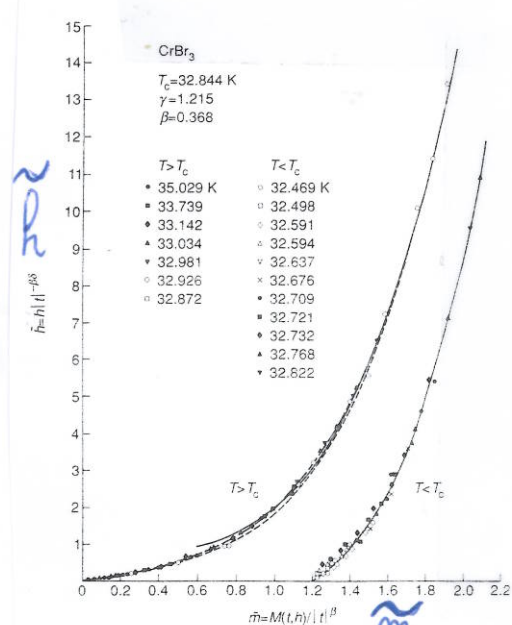
donne une courbe unique pour $T > T_c$ ($+T$)

et une autre pour $T < T_c$. ($-T$... peu trop loin de T_c tout de même) ...

cf expériences sur CrBr_3 (Ho et Lester, PRL 22, 603, 1969)

(précise avènement grpe renormalisation ...)

les idées d'échelle lui sont un peu antérieures (Kadanoff, 1966).



On notera finalement que les relations précédentes impliquent

FIP 111
L3

$$\alpha + 2\beta + \gamma = 2$$

$$\alpha + \beta(1+\delta) = 2, \text{ mentionnés plus haut au chapitre des anomalies.}$$

Les deux relations manquantes impliquent ν et η qu'il faut relier aux y_i .

Pt de vue heuristique : on vient de voir que les longueurs se comportent

$$\text{comme } b \propto |t|^{-1/y_1}; \text{ c'est aussi le cas de } \xi \propto |t|^{-\nu} \Rightarrow \nu = 1/y_1$$

La dernière relation se déduit de

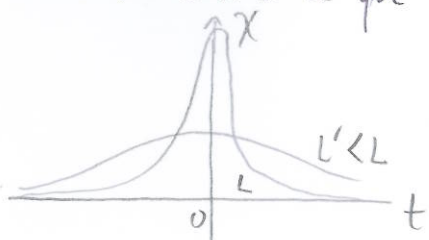
$$\chi_{+} \propto \underbrace{\int_{|t|^{-\nu}}^{\infty} \tau(r) r^{d-2} dr}_{\propto \xi^{2-\nu}} \Rightarrow \nu = (2-\eta)/\nu$$

→ Application : "finite-size scaling", utile pour simulations numériques

Au voisinage du pt critique, ξ diverge. Cela semble condamner toute approche de simulation numérique, nécessairement limitée à tailles assez petites (qqs centaines tailles moléculaires). Une simulation doit être faite du système de taille $L \gg$ telle échelle microscopique, d'où $L \gg \xi \rightarrow$ impossible près de T_c .

Technique "finite size scaling" tourne ce défaut apparent en avantage, et permet d'utiliser simulations pour étudier comportement critique (introduite par M. Fisher des années 1970, bien perfectionnée depuis). Idée : exploiter flexibilité des simulations pour varier L + arguments d'échelle : près de T_c , la longueur de corrélation est la seule échelle pertinente dans le problème.

Considérons par ex susceptibilité $\chi(t, L)$. $\chi(t, \infty)$ diverge pour $t \rightarrow 0$, et on s'attend à ce que $\chi(t, L)$ présente une bosse au voisinage de $t = 0$



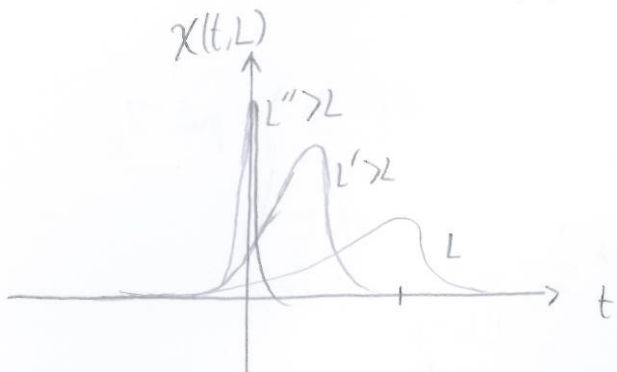
$\frac{\chi(t, L)}{\chi(t, \infty)}$ est une qté sans dimension qui dépend de L ,

et de t . La seule qté sans dimension que l'on puisse former avec L est $\frac{L}{\xi_\infty(t)}$ à $\xi_\infty(t)$ est longueur corrélation du système infini ($\xi_0 \propto |t|^{-\nu}$)

On suppose ici que détail moléculaire non pertinent près de T_c .

$$\text{On a alors } \frac{\chi(t, L)}{\chi(t, \infty)} \underset{L \rightarrow \infty}{\sim} \varphi\left(\frac{L}{S_\alpha(t)}\right) \quad ; \quad \begin{array}{l} \text{fonction d'échelle} \\ \uparrow \end{array}$$

$$\Rightarrow \chi(t, L) = |t|^{-\gamma} \varphi(L|t|^\nu) = L^{\frac{\gamma}{\nu}} \varphi(L|t|^\nu)$$



Si bien il y a, elle se trouve en

$$t_{\max} \lesssim L^{-1/\nu} \quad \xrightarrow[L \rightarrow \infty]{} 0$$

Sa largeur se comporte aussi comme $L^{-1/\nu}$
et sa hauteur $\lesssim L^{\frac{\gamma}{\nu}}$

Par tracé log-log approprié, on en déduit ν et γ/ν . On peut bien sûr appliquer même raisonnement à toute quantité qui diverge à transition (à chelem spéc.)

Transparent

4e) l'invariance conforme

Nous n'avons toujours pas d'"explication" pour le fait que exposants critiques à 2D sont souvent fractions rationnelles. Compréhension venue après 1984, quand il a été réalisé que systèmes critiques ne sont pas seulement invariants d'échelle, mais aussi invariants conformes. Dans une transformation conforme, le facteur d'échelle b dépend du point \vec{z} (continuum). La transformation est une combinaison de translation, dilatation, et rotation (jacobien = produit d'un scalaire \times matrice rotation) \rightarrow préserve les angles. Autre formulation, dans plan complexe $z \mapsto \bar{z} = f(z)$ doit être holomorphe, de dérivée non nulle.
 ↳ différentiable pt vue complexe

Invariance conforme utile surtout à 2D car le groupe conforme est bien plus grand que de dimensions supérieures (plus de symétrie à 2D)

↳ nécessite mathématiques assez sophistiquées (Conformité ...)

FIP 112
L3

Conclusion: nous nous sommes contentés de présenter cadre, et idées

essentielles. Le pb avec la renormalisation est que les exemples simples sont souvent trop simples pour être convaincants, et exemples convaincants nécessitent analyse très technique. Procédure simple à mettre en place sur Ieng 1D, avec le défaut (qui simplifie agréablement analyse!) que le hamiltonien renormalisé est du même type que Ieng 1D \rightarrow on se déplace sur une droite de l'espace des paramètres (si $B=0$) \rightarrow non générique. (On traite de Chandler ; cf Le Bellac, ou Le Bellac / Barthani / Hartmann pour Ieng 2D)

Pb de renormalisation:- cadre g₀ mais doit être adapté au pb particulier étudié
- ne permet pas en g₀ de calculer exactement expériences (trop difficile techniquement)

↳ utilité approches numériques.